

Foto 5.1  
Flujos de detritos y bloques ciclópeos en forma de avalancha



Foto 5.2  
Lavado intenso superficial y profundo (lavas "torrenciales" de laderas)



Foto 5.3  
Nueva línea de la costa debido a los aportes coluvios-aluvionales de ríos y quebradas (ver Mapa geológico, Figura 5.1)





Foto 5.4  
Nueva línea de la costa debido a los aportes coluvios-aluvionales de ríos y quebradas (ver Mapa geológico, Figura 5.1)



Foto 5.5a / 5.5b

Interpretación de los efectos del evento V: Carmen de Uria, contabilidad de estructuras afectadas  
El mapeo digital de las estructuras registradas en los mapas de Vargas (polígonos oscuros) permite estimar cuántas de éstas se ubican en las áreas de destrucción total (zonas rojas) delimitadas por fotointerpretación  
Fuente. Captura y gestión de datos geográficos en situaciones de emergencia Prof Roberto Prato, dic. 1999.

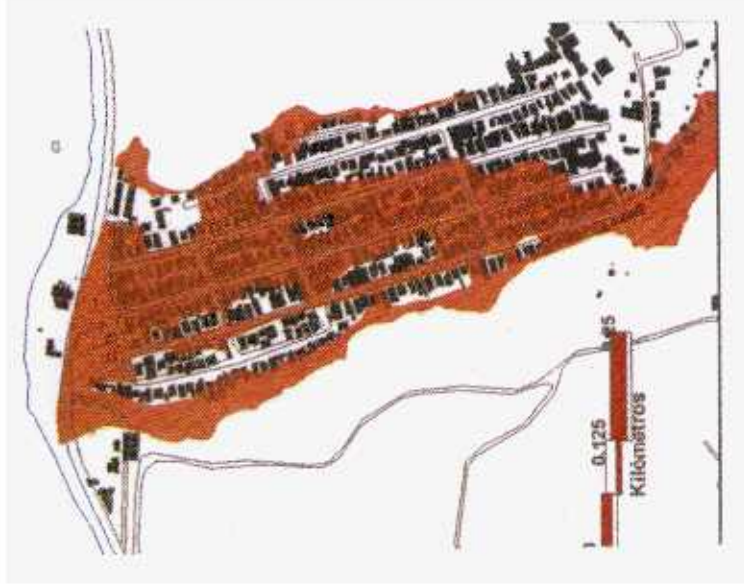
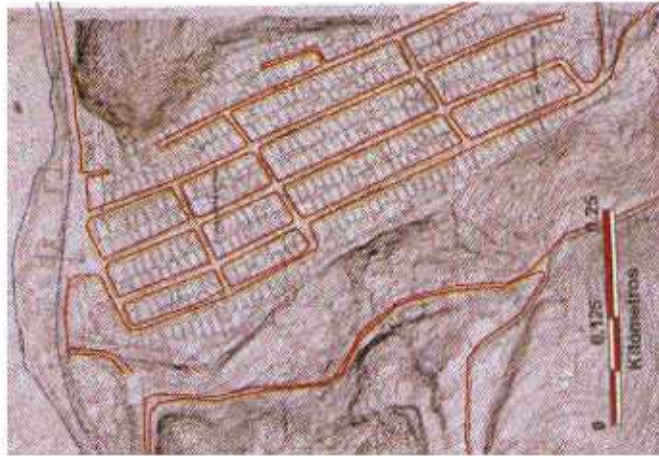


Foto 5 6

Integración de los datos geográficos

En esta perspectiva tridimensional desde el norte de Carmen de Uria, la integración de la cartografía digital vectorial (líneas azules), las aerofotografías y un modelo numérico del terreno revela la correlación de los tipos y la extensión de los daños con la morfología del área. En el fondo del valle, daño muy intenso por riada de fango e impacto de bloques rocosos. En las laderas, daño por deslizamiento. En el litoral, daño por acumulación violenta de sedimentos

Fuente: Captura y gestión de datos geográficos en situaciones de emergencia. Prof. Roberto Prato, dic. 1999.

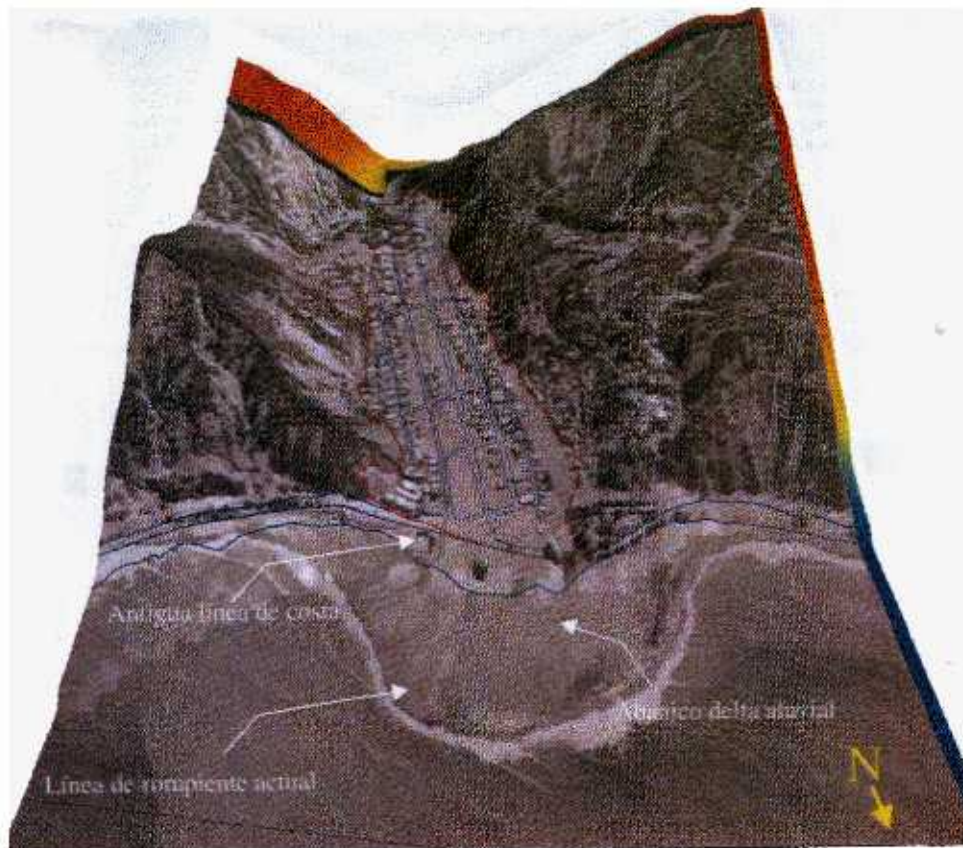




Foto 5.7  
Alta densidad poblacional en cauces de quebrada



Foto 5.8  
Viviendas informales ubicadas en zona altamente riesgosa

